



# Informatica Grafica

Gianluigi Ciocca, Simone Bianco

F1801Q120

# Ray Tracing Avanzati

## ◆ Altre tecniche di rendering avanzate

- Path Tracing
- Bidirectional Path Tracing
- Photon Map
- Radiosity

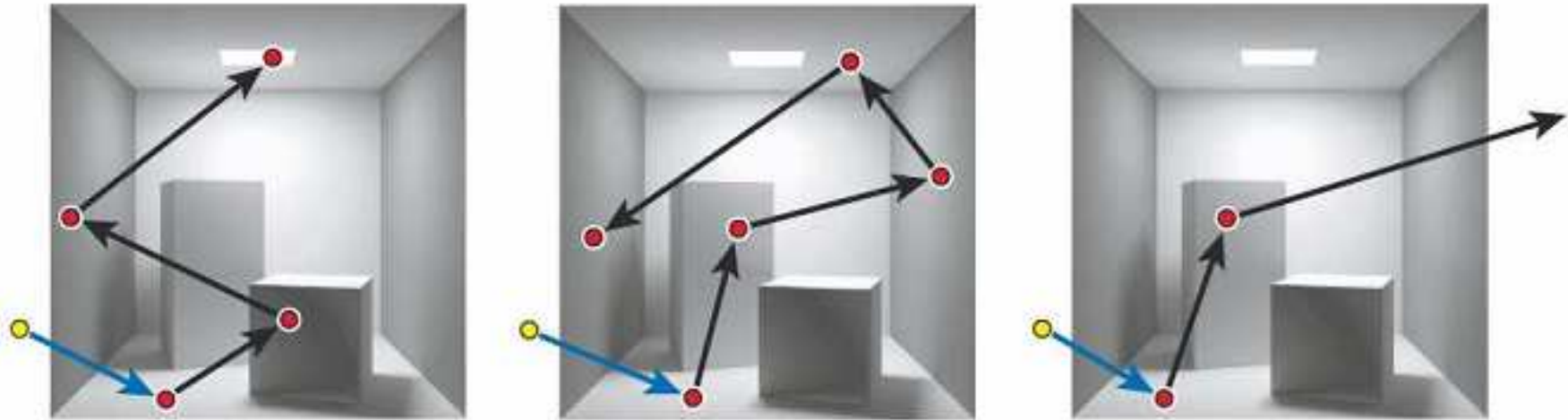
# Path Tracing

## Idea (1)

- ◆ Viene seguito 1 solo raggio alla volta
  - Superficie->Luce
- ◆ Si lanciano più raggi per pixel
  - I contributi dei raggi sono accumulati e mediati
- ◆ Ad ogni punto di iterazione vengono fatte scelte randomiche
  - Basato su un approccio Monte Carlo
  - Scelte randomiche che MEDIAMENTE danno il risultato corretto
- ◆ Meno calcoli ma risultati garantiti rispetto al Distributed Ray Tracing

# Path Tracing

## Idea (2)



[Suffern]

- ◆ Accumulando evidenze (random path) in modo corretto, è garantita la convergenza del risultato
  - Considerare la probabilità di interazione luce/materiale lungo una certa direzione

# Path Tracing

## Idea (3)

- ◆ La luce che vediamo lungo una direzione  $\varpi_o$  in un punto  $p$  della scena è data da
  - Luce emessa dal punto  $p$  (0 per non luci) +
  - Luce riflessa ricevuta da una generica direzione  $\varpi_i$
- ◆ La luce riflessa è pesata per tener conto delle caratteristiche del materiale (ci torneremo più avanti)

$$weight = \frac{f_r(x, \varpi_i, \varpi_o) \cos \theta_i}{p(\varpi_i)}$$

- ◆  $f_r$ : luce che da  $\varpi_i$  arriva verso  $\varpi_o$
- ◆  $\theta_i$ : angolo tra la normale e  $\varpi_i$
- ◆  $p(\varpi_i)$ : probabilità di scegliere la direzione  $\varpi_i$

# Path Tracing

## Algoritmo base (1)

```
Raytrace() // top level function
  for each pixel(x,y)
    pixel(x,y).color = Trace(ray_through_pixel(x,y))
  end for
```

```
Trace(ray0) // fire a ray, returns radiance
  object_point = closest_intersection(ray)
  if object_point
    if object_point is Light
      return object_point.ke
    else
      rayI = Compute_random_ray(ray0,object_point)
      weight = Compute_weight(ray0,rayI,object_point)
      return obj.emiss + weight * Trace(rayI)
```

# Path Tracing

## Algoritmo base (2)

```
Compute_random_ray(ray,point) // returns a new ray  
    // Depends on material  
    // Depends on light
```

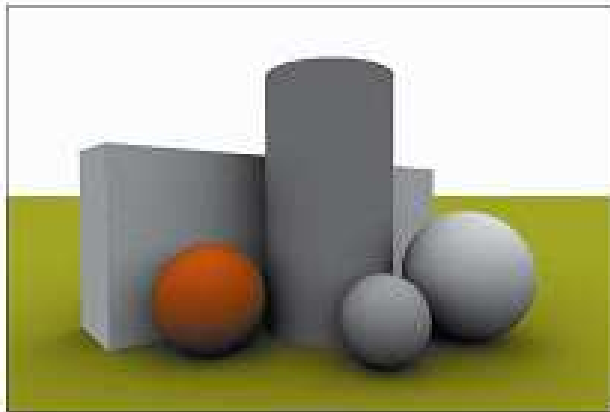
```
Compute_weight(wo,wi) // returns a reflectance weight  
    // Use equation  
    // Depends on material  
    // Depends on light
```

### ◆ E i vari coefficienti delle luci ( $k_r, k_d, \dots$ )?

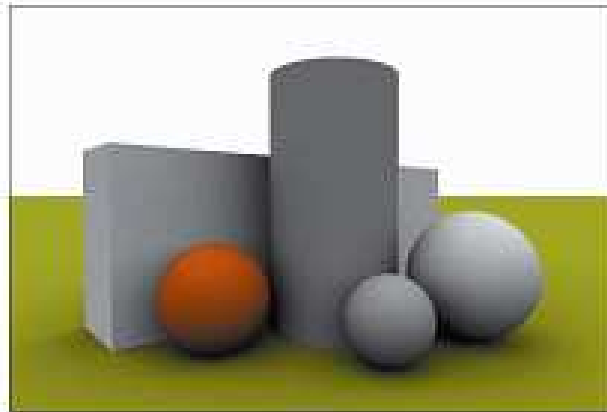
- La funzione  $f_r$  considera tutte le proprietà del materiale
- Modella completamente il comportamento della luce
- Ci torneremo più avanti

# Path Tracing

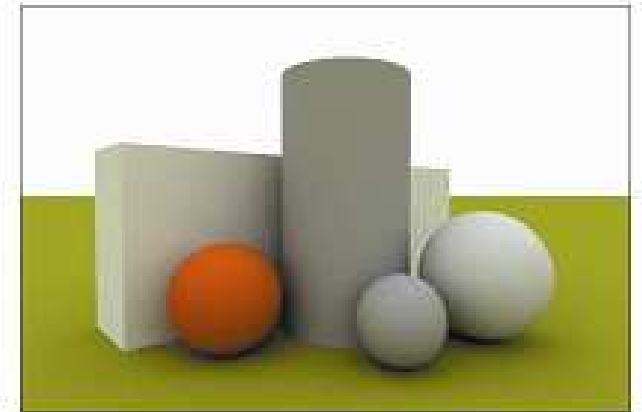
## Risultati (1)



direct illumination



path tracing  
one bounce



path tracing  
five bounces [Suffern]



# Path Tracing

## Risultati (2)

1 sample  
per pixel



100 samples  
per pixel



1000 samples  
per pixel

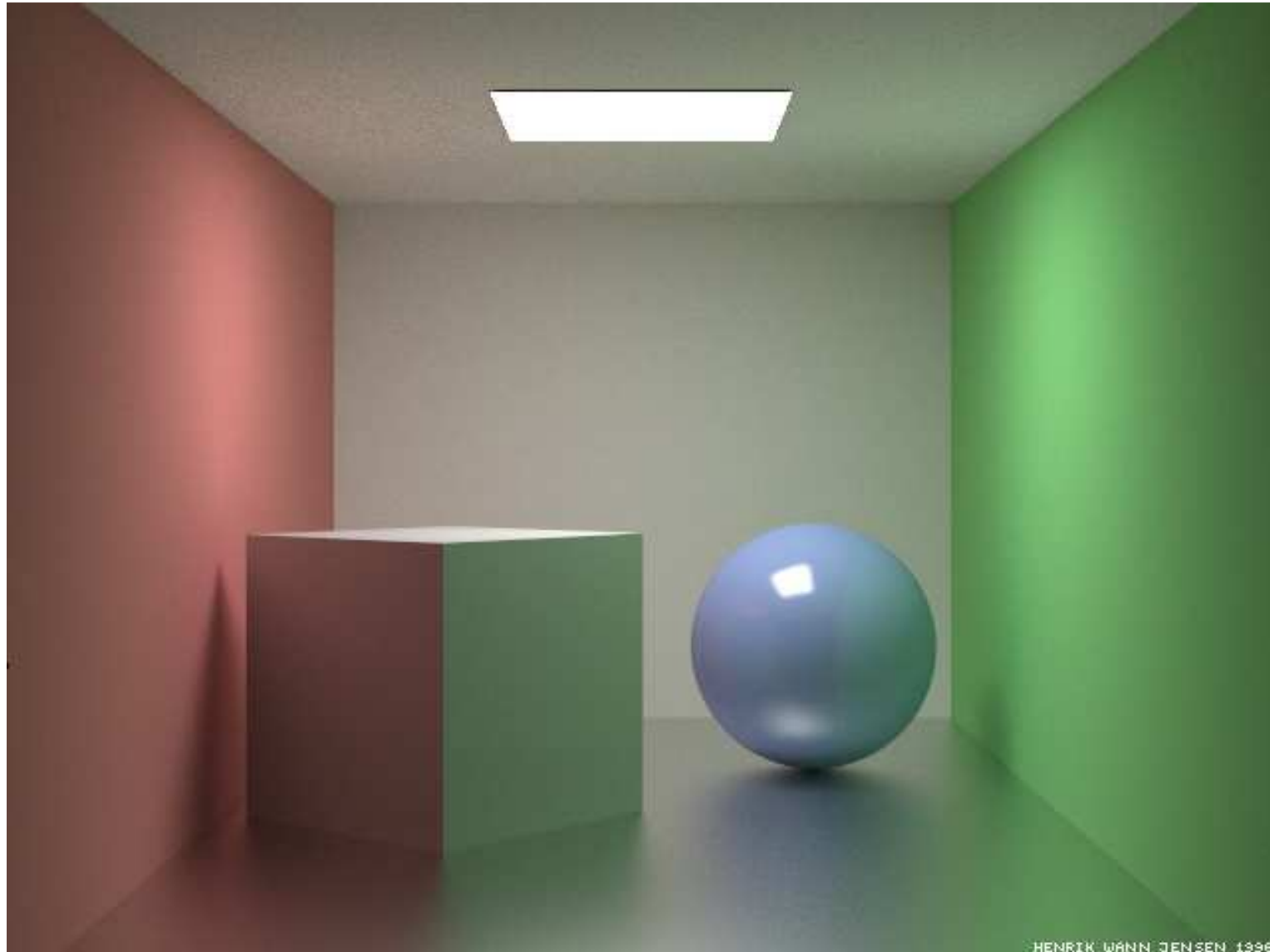


10000 samples  
per pixel



# Path Tracing

## Risultati (3)



# Path Tracing

## Importance sampling

### ◆ L'algoritmo è molto inefficiente

- I raggi secondari sono scelti senza nessun criterio particolare
  - Molti vanno "persi"
  - Possono analizzare parti "poco rilevanti" della scena

### ◆ Scelta dei raggi usando un concetto di importanza

- Importanza dal punto di vista del contributo di luce
- Es. La luce diretta contribuisce di più di quella indiretta
- Es. In una superficie a specchio c'è una direzione preferenziale
- Es. Un certo materiale può riflettere maggiormente in certe condizioni e assorbire in altre
- ...

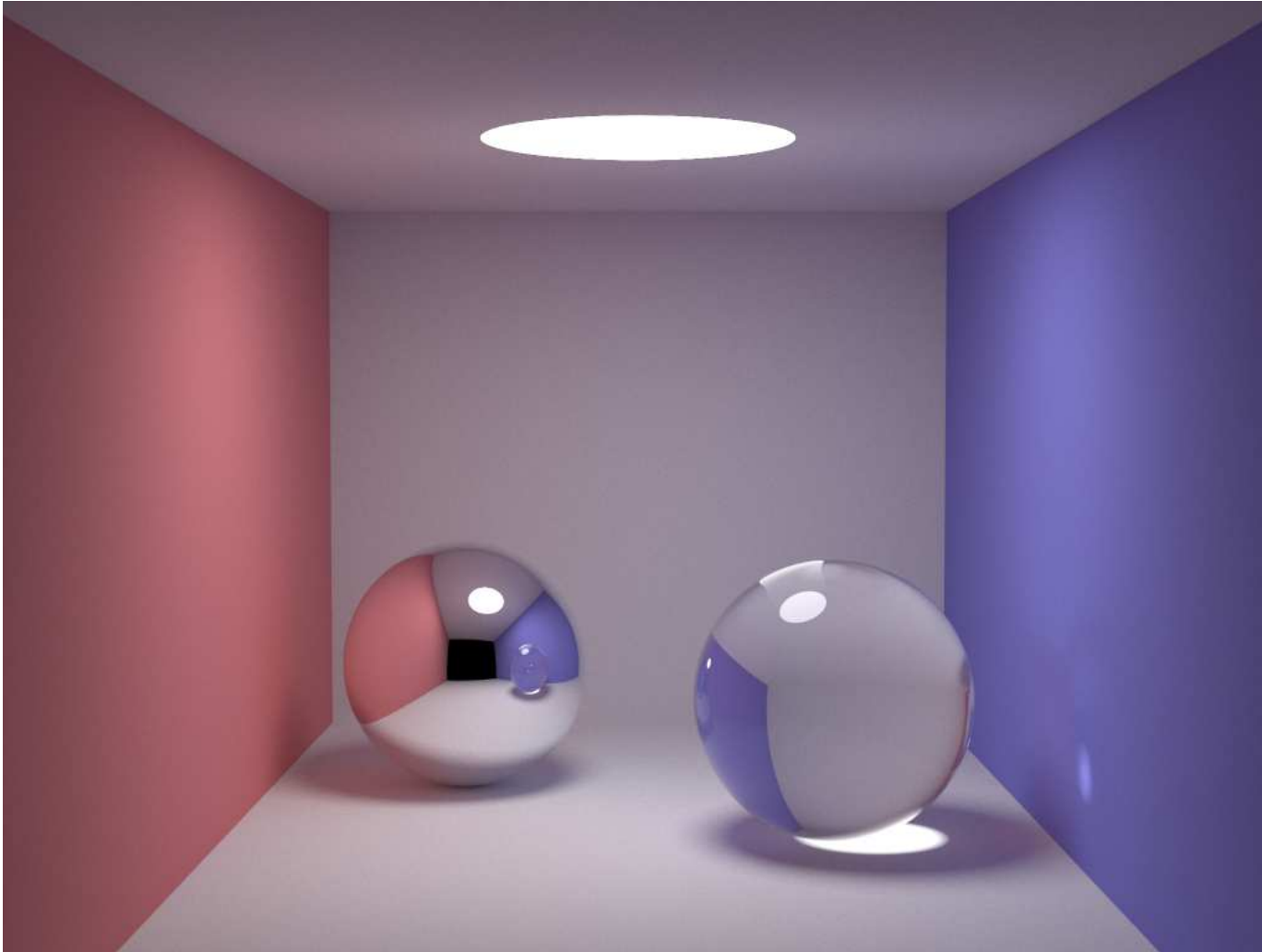
# Path Tracing

## Russian Roulette

- ◆ Termina alcuni path prematuramente
  - Usata una soglia randomicamente scelta su certi valori
    - Peso accumulato lungo il path
    - Valore di riflettanza
    - ...
- ◆ Usata anche per scegliere se seguire un raggio di Riflettanza O Trasmittanza nel caso di materiali semi-trasparenti
  - Dimezza i raggi analizzati
  - I pesi sono adattati per tenere conto di questo e avere un risultato corretto

# Path Tracing

SmallPt: Un path tracer in 99 righe di codice C++



## ◆ Supporta

- Importance Sampling
- Russian Roulette

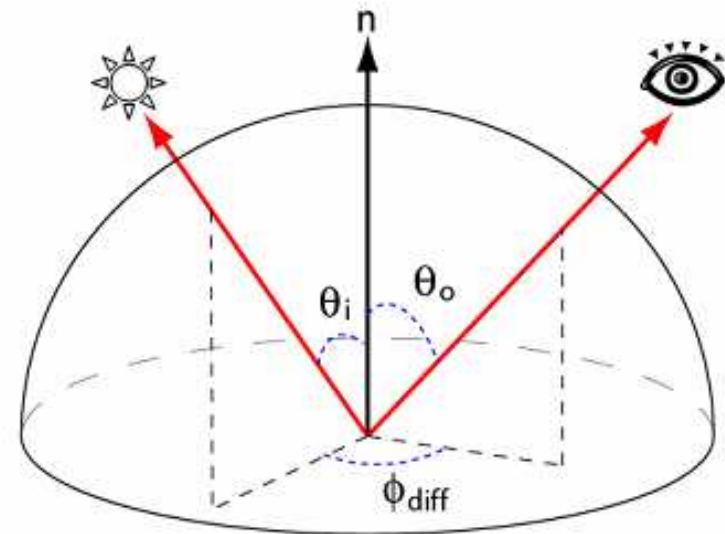
<http://www.kevinbeason.com/smallpt/>

# BRDF (1)

◆ Che cosa è la funzione  $f_r(p, \varpi_o, \varpi_i)$ ?

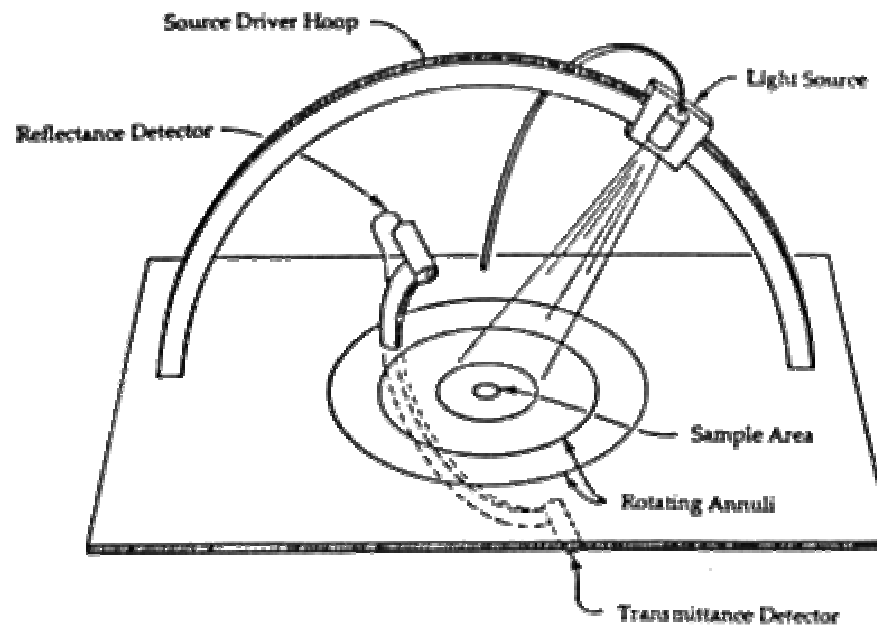
- E' detta **Bidirectional Reflectance Distribution Function** (BRDF)
- Dice quanta luce, da una direzione  $\varpi_i$  viene vista in direzione  $\varpi_o$  rispetto ad un punto  $p$ 
  - E' una funzione a 4 dimensioni (usando coordinate sferiche) e dipende dalla lunghezza d'onda della luce:

$$BRDF_{\lambda}(\theta_i, \phi_i, \theta_o, \phi_o)$$



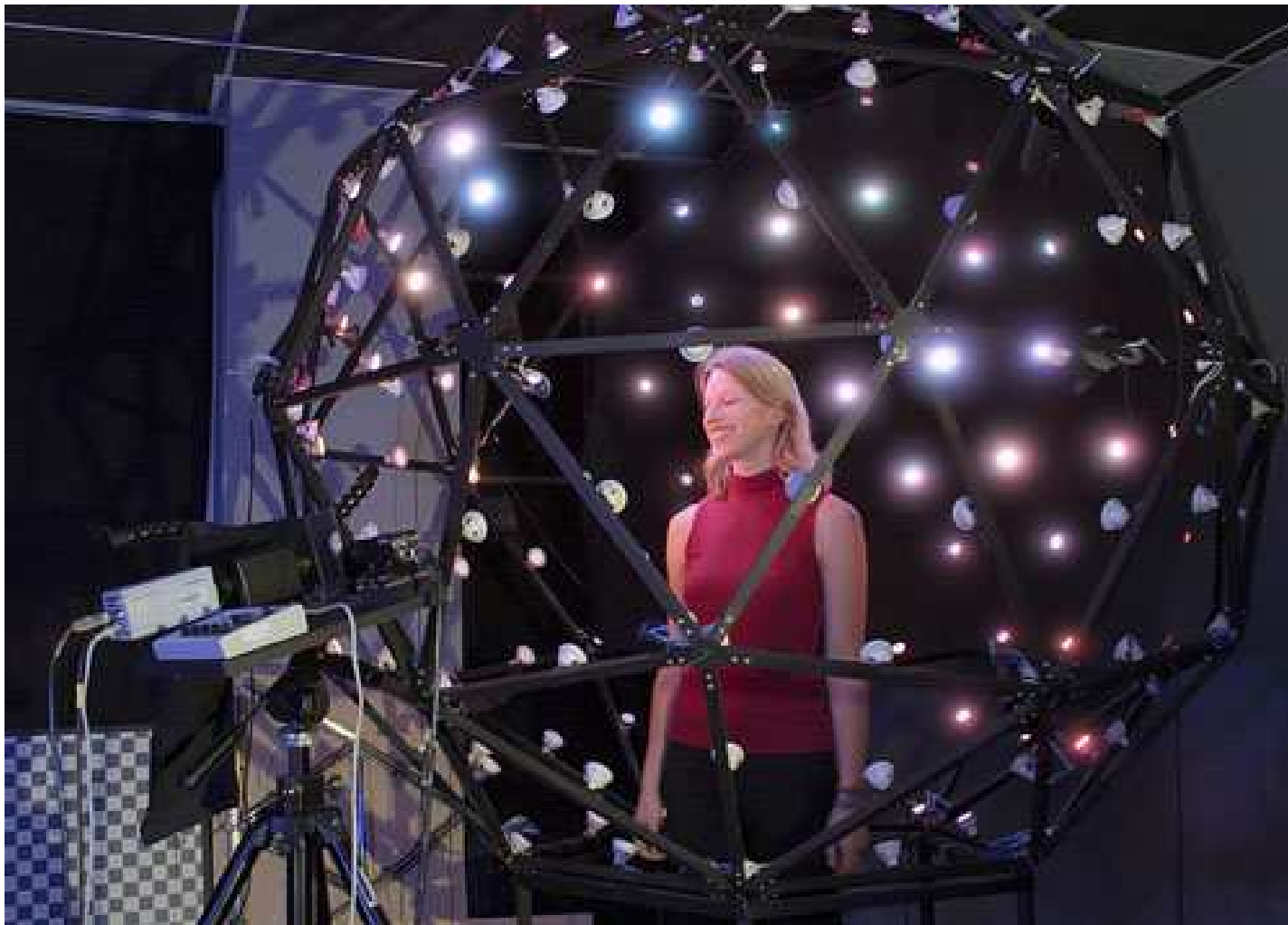
# BRDF (2)

◆ Si può misurare: Spettro Goniometro



# BRDF (3)

◆ Nel cinema...

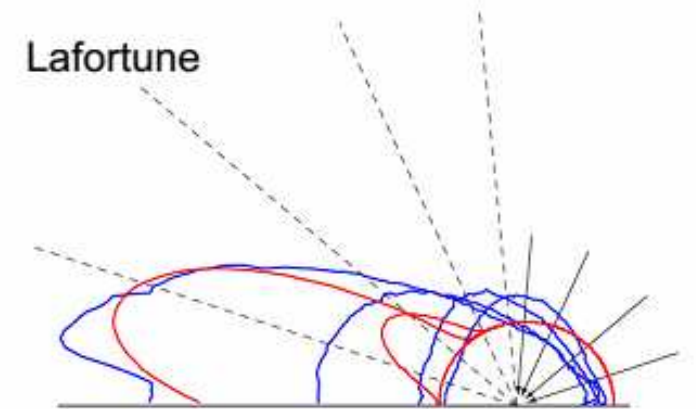
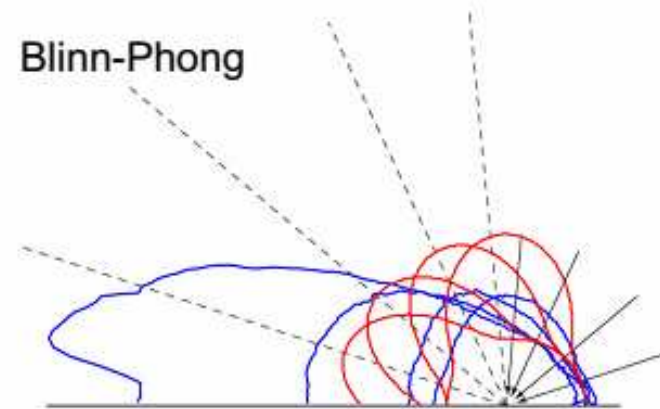
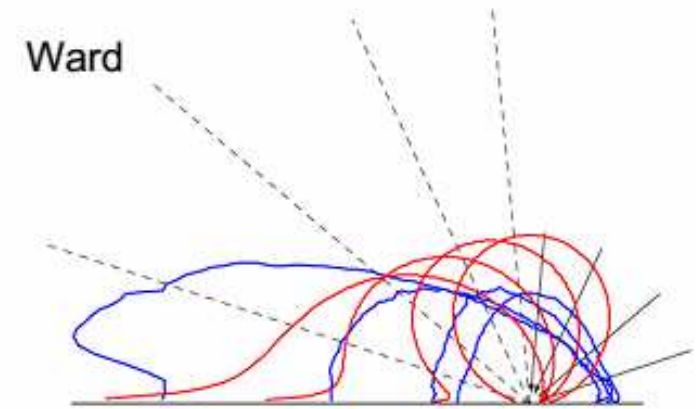
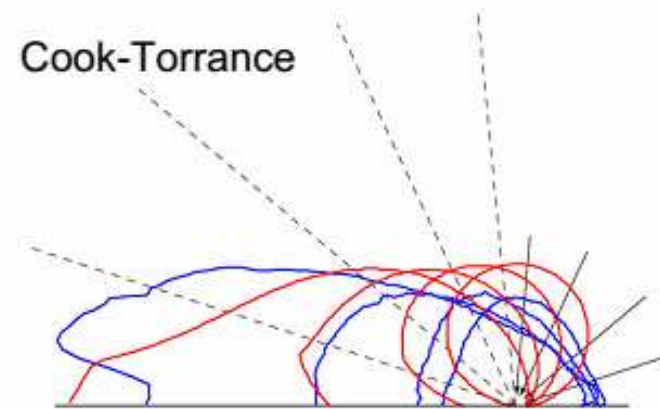




# BRDF (4)

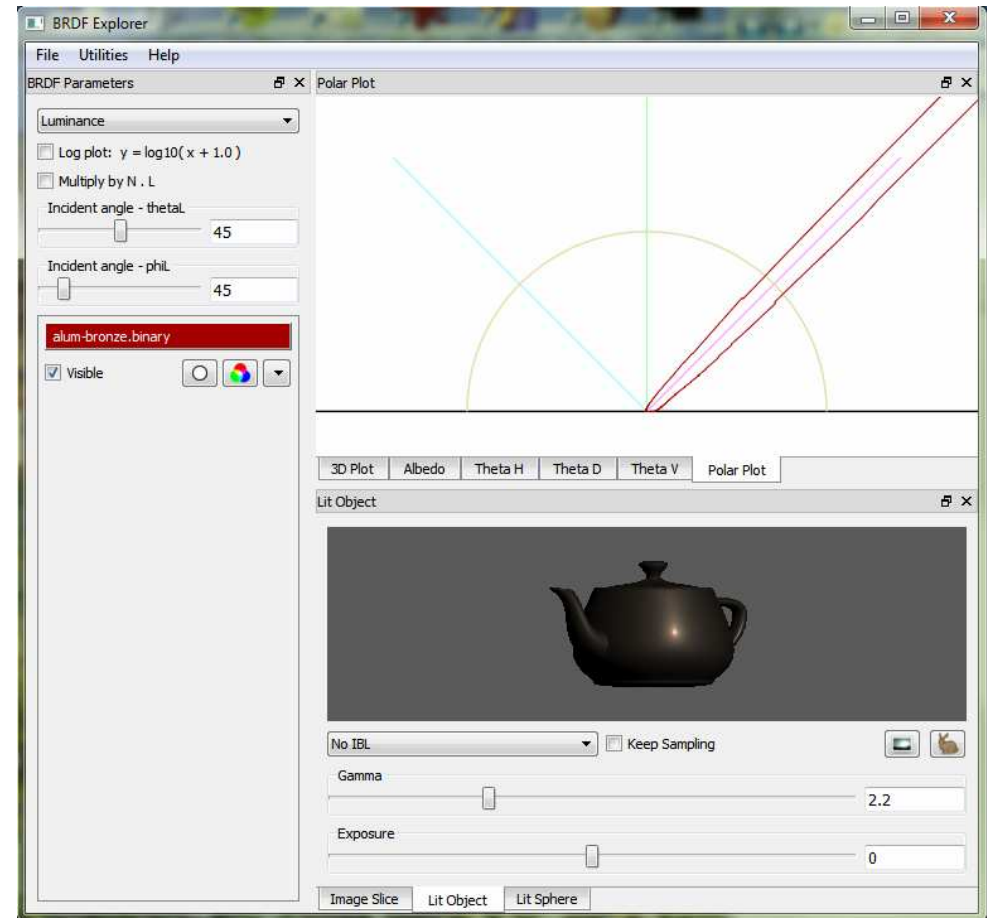


— Fitted model  
— Data



Material – Dark blue paint

# BRDF (5)



MERL BRDF Database: <http://www.merl.com/brdf/>

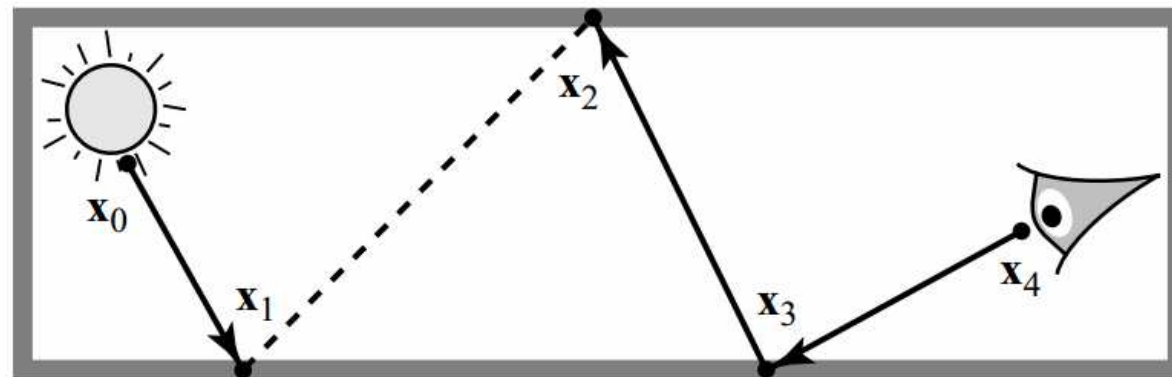
Disney's BRDF Explorer: <http://www.disneyanimation.com/technology/brdf.html>

A. Ngan, F. Durand, W. Matusik "Experimental Validation of Analytical BRDF Models":  
<http://people.csail.mit.edu/addy/research/ngan-04-brdfmodels.pdf>

# Bidirectional Path Tracing (1)

## ◆ Idea

- Viene generato un **subpath** a partire dal punto di vista
- Viene generato un **subpath** a partire dalla sorgente di luce
- I due subpath si connettono (se i punti terminali sono reciprocamente visibili)



# Bidirectional Path Tracing (2)

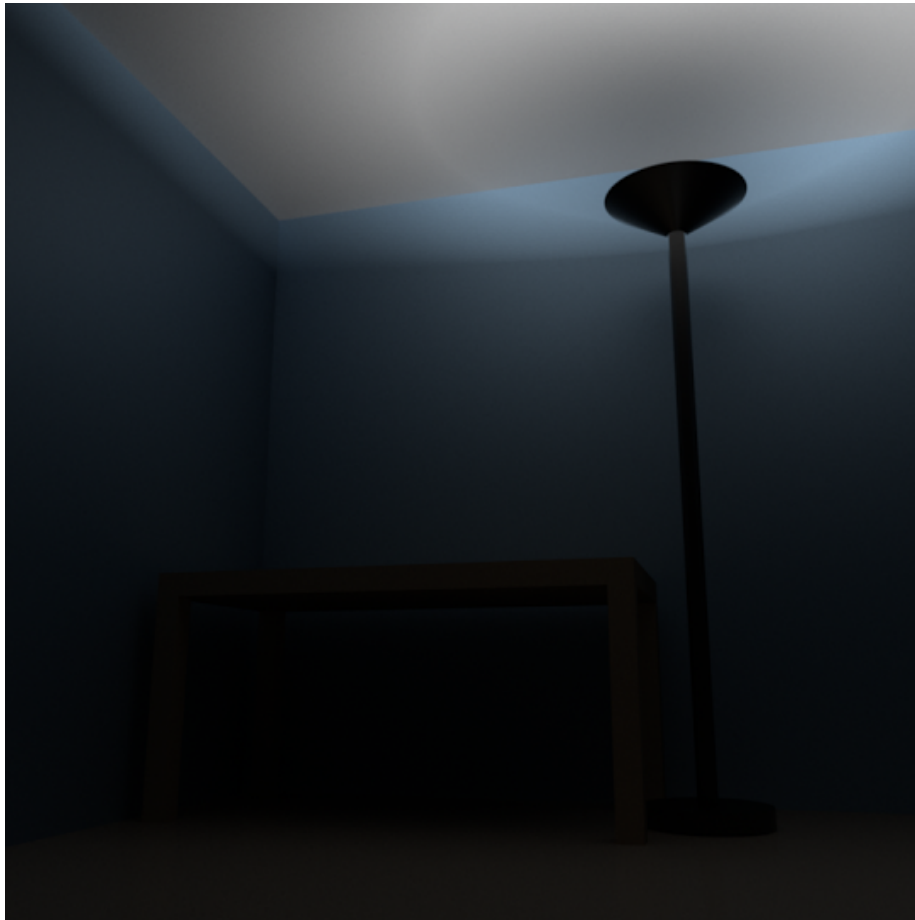


Bidirectional Path Tracing



Path Tracing

# Bidirectional Path Tracing (3)



Path Tracing



Bidirectional Path Tracing

# Photon Mapping (1)

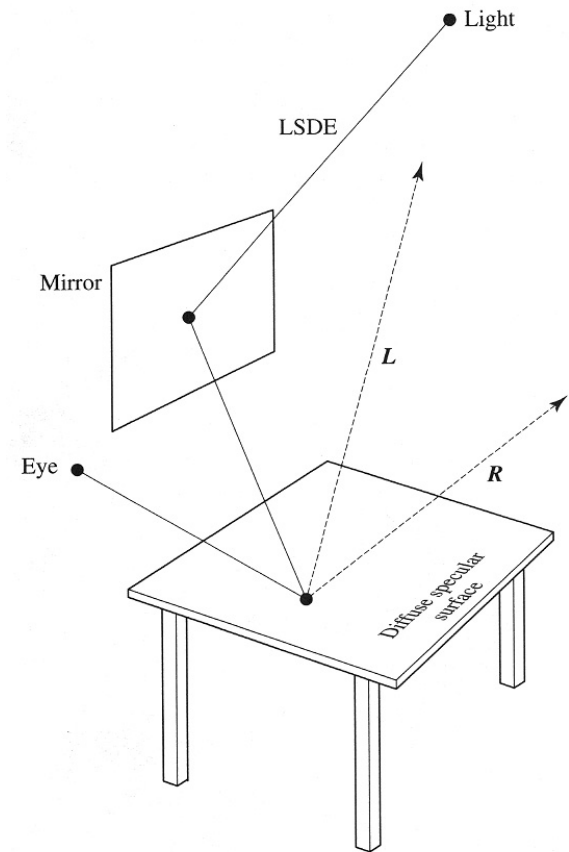
## ◆ Simula il percorso dei raggi lungo il percorso LSDE: Light-Specular-Diffuse-Eye

### ● Passo 1

- Si seguono diversi raggi dalla luce verso ciascuna superficie riflettente
- Quando un raggio riflesso colpisce una superficie diffusa in un punto P, il contributo viene memorizzato in una **Photon Map** indicizzata sul punto

### ● Passo 2

- Ray tracing "normale" ma
- Quando un raggio incide sul punto P viene usata la Photon Map per calcolare il contributo di luce diretta



# Photon Mapping (2)

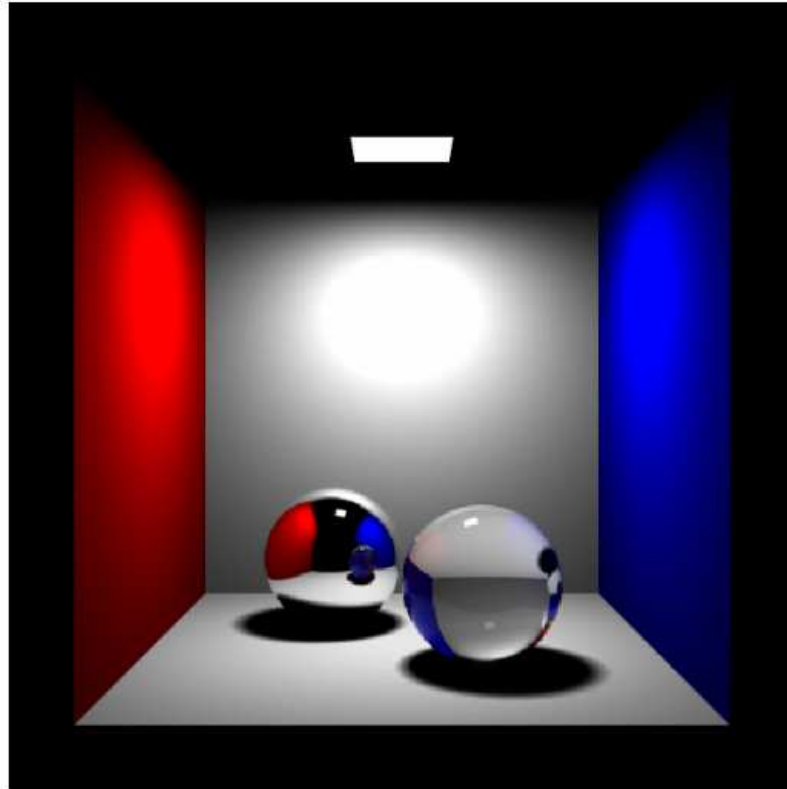
- ◆ Necessaria una struttura dati per memorizzare la Photon Map
  - Ad ogni intersezione si usano i k punti più vicini nella photon map per stimare la luce
  - k-nearest neighbour search su kd-tree data structure

```
struct photon {  
    float x, y, z;           // position ( 3 x 32 bit floats )  
    char p[4];               // power(rgb) packed as 4 chars  
    char phi, theta;         // compressed incident direction  
    short flag;              // flag used for kd-tree  
}
```

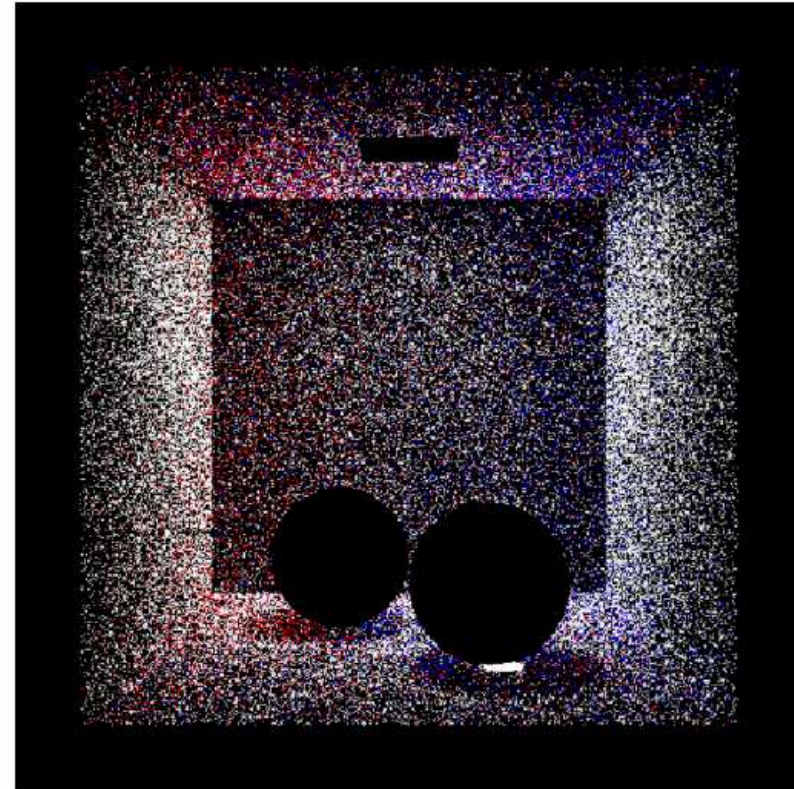
Jensen, Henrik W., Realistic Image Synthesis Using Photon Mapping, A K Peters, Ltd., Massachusetts, 2001



# Photon Mapping (3)



(a)

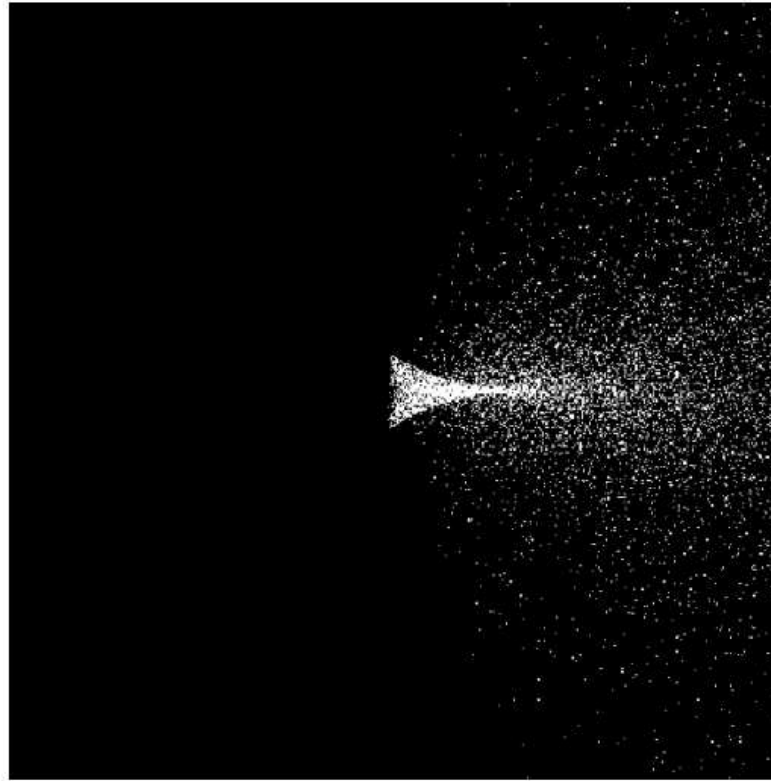
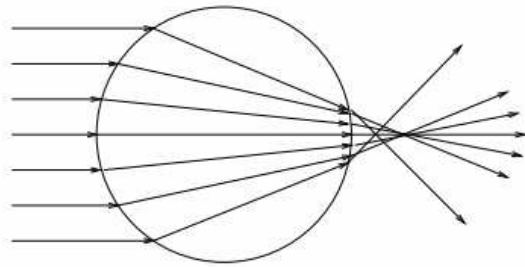


(b)

*Figure 2.4: “Cornell box” with glass and chrome spheres: (a) ray traced image (direct illumination and specular reflection and transmission), (b) the photons in the corresponding photon map.*



# Photon Mapping (4)

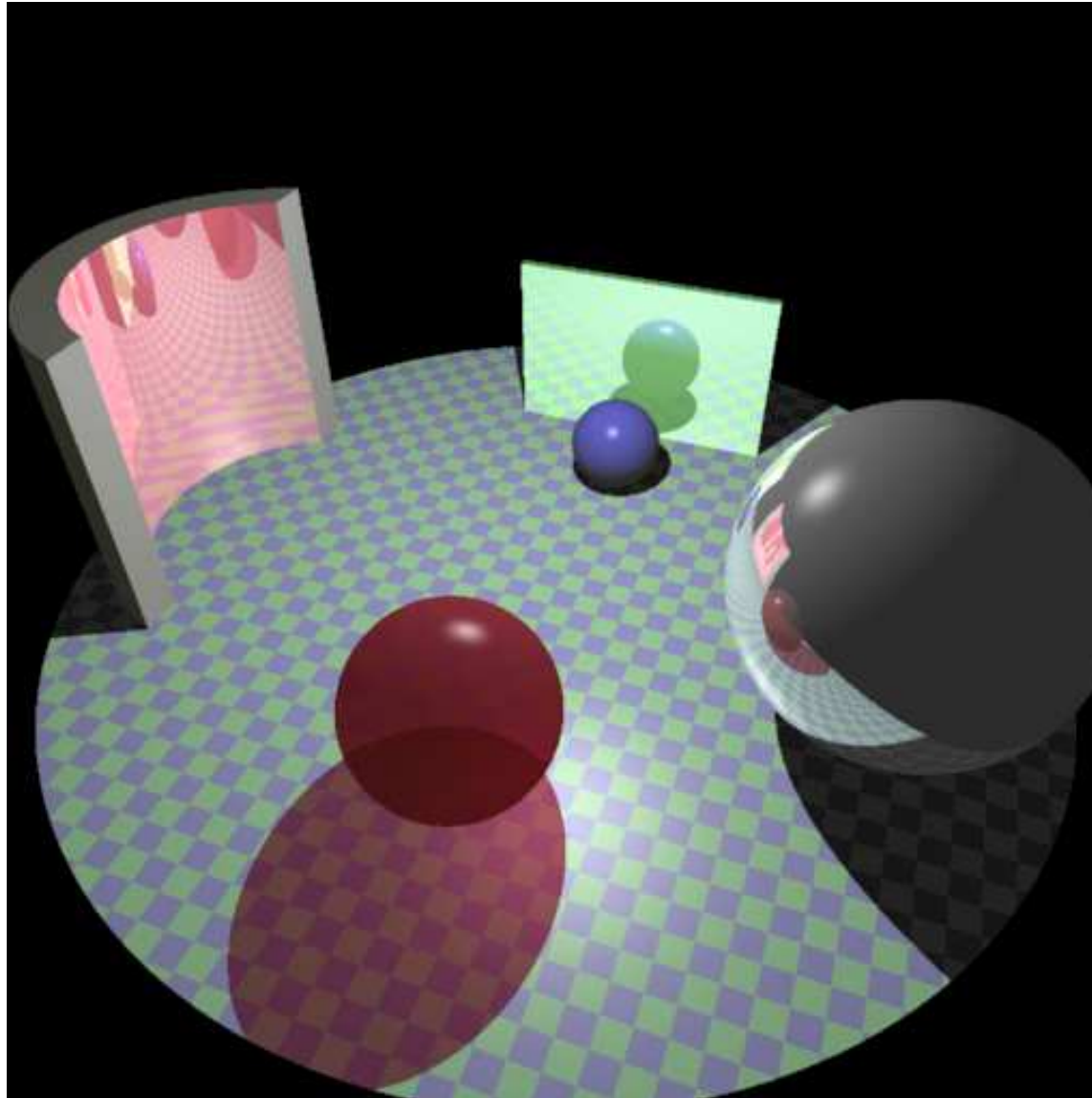


*Figure 2.5: Sphere in fog: (a) schematic diagram of light paths, (b) the caustic photons in the photon map.*

# Photon Mapping

## Esempio (1)

◆ Esempio

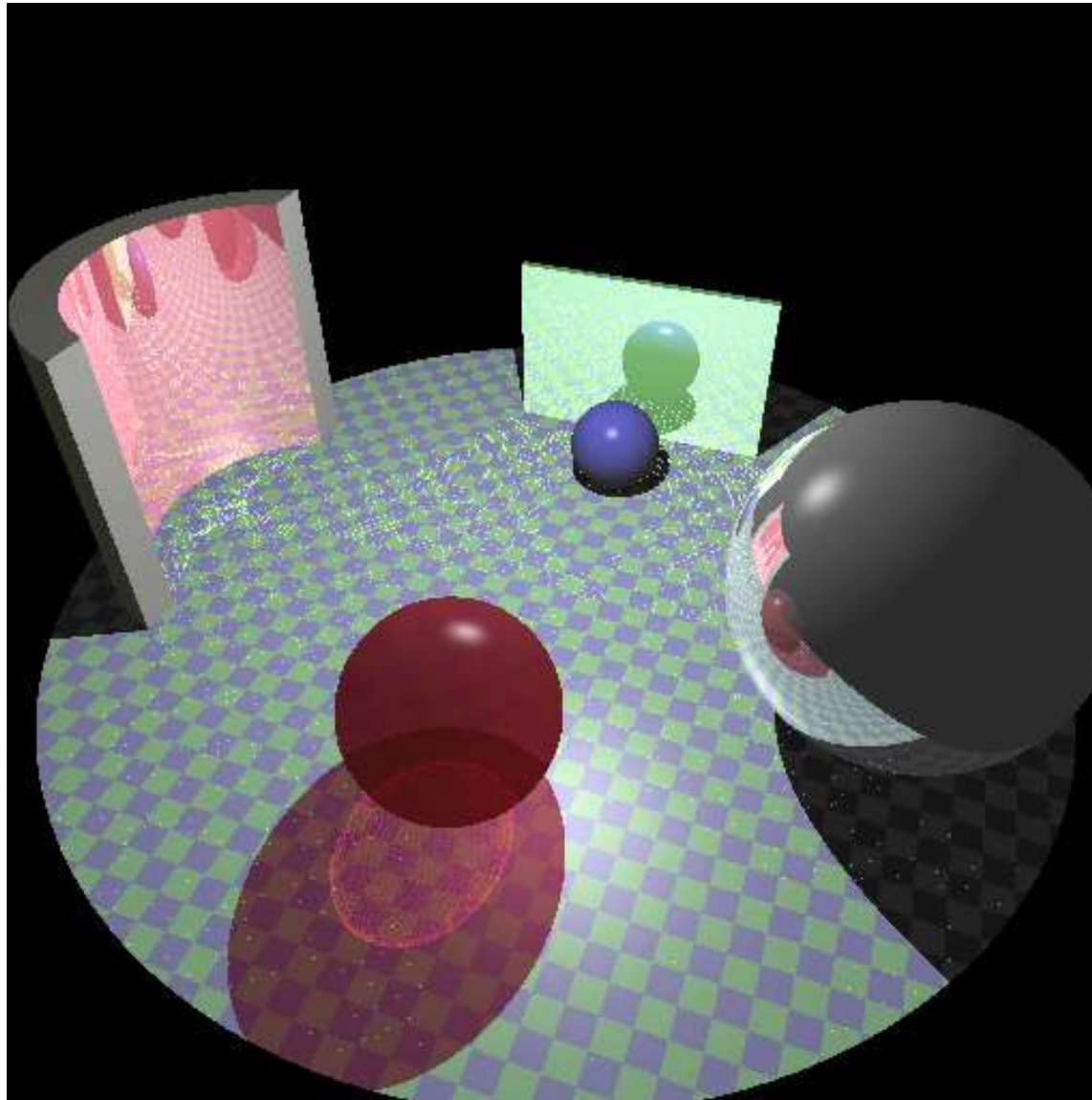


Ray tracing convenzionale

# Photon Mapping

## Esempio (2)

### ◆ Esempio

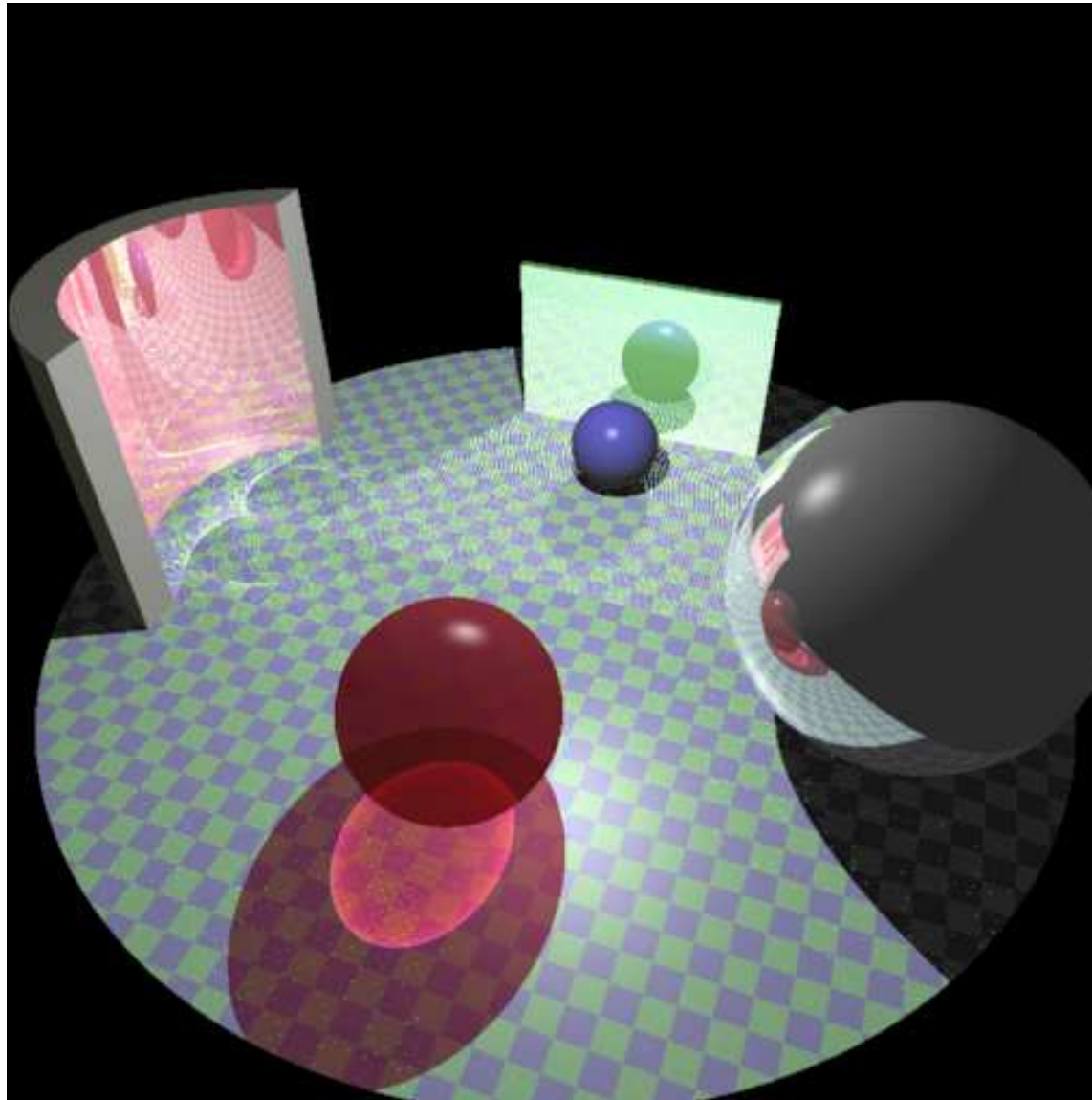


Two Pass Ray tracing: 200 raggi emessi dalla sorgente

# Photon Mapping

## Esempio (3)

### ◆ Esempio



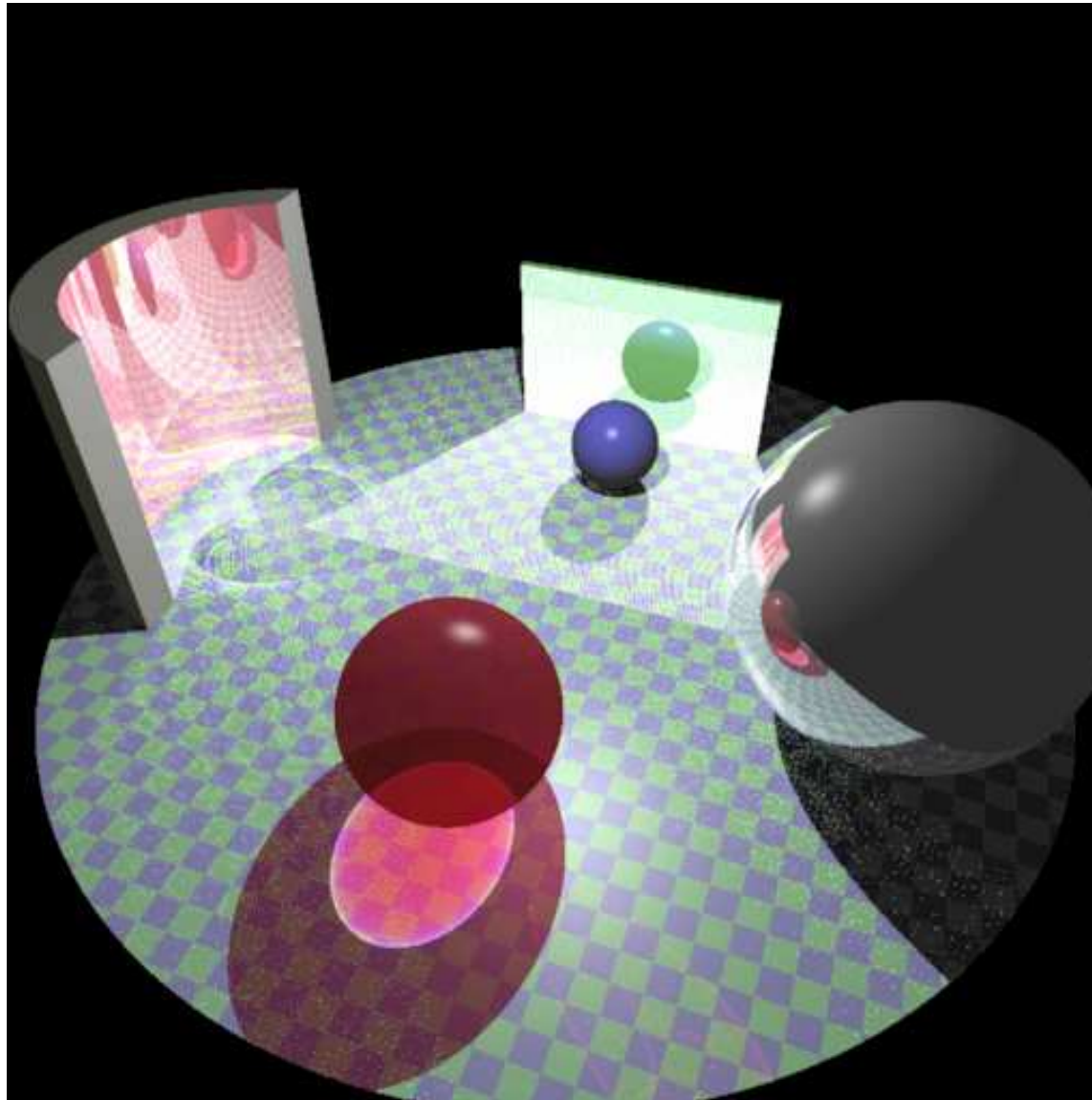
Two Pass Ray tracing: 400 raggi emessi dalla sorgente



# Photon Mapping

## Esempio (4)

### ◆ Esempio

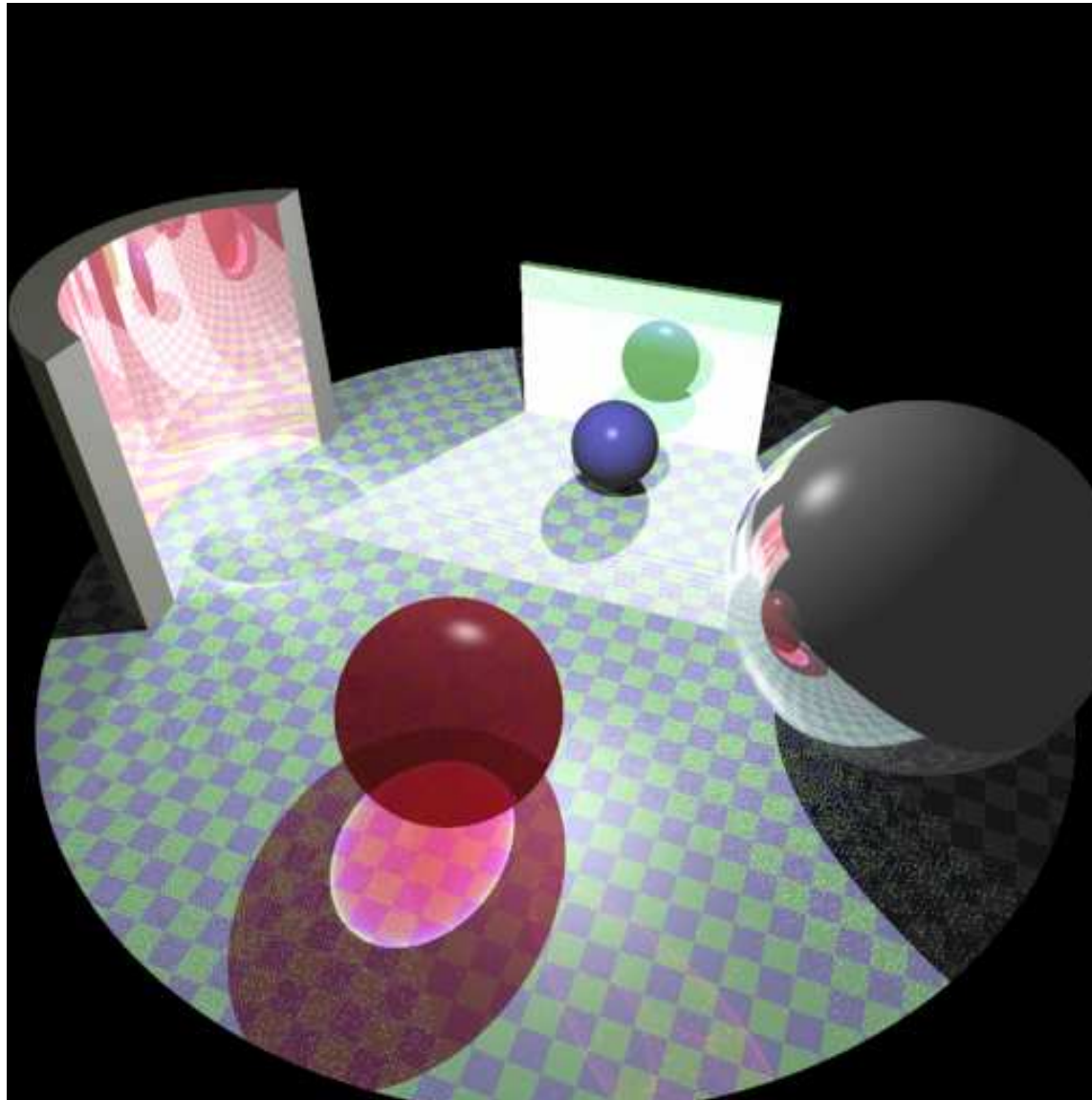


Two Pass Ray tracing: 800 raggi emessi dalla sorgente

# Photon Mapping

## Esempio (5)

### ◆ Esempio



Two Pass Ray tracing: 1000 raggi emessi dalla sorgente

# Photon Mapping (5)



# Photon Mapping (6)

## ◆ Subsurface Scattering





# Rendering Equation (1)

## ◆ James Kajiya (1986)

- E' alla base di tutti i metodi di rendering
- Descrive il trasporto della luce da una superficie ad un'altra

$$L(x, \varpi_o) = L_e(x, \varpi_o) + L_r(x, \varpi_o)$$

$$L_r(x, \varpi_o) = \int_{\varpi_i} f_r(x, \varpi_i, \varpi_o) L_i(x, \varpi_i) |\cos \theta_i| d\varpi_i$$

- $x$  : punto sulla superficie
- $\varpi_o$  : direzione di vista
- $L_e$  : Radianza emessa
- $L_r$  : Radianza riflessa

# Rendering Equation (2)

$$L_r(x, \varpi_o) = \int_{\varpi_i} f_r(x, \varpi_i, \varpi_o) L_i(x, \varpi_i) \cos \theta_i d\varpi_i$$

◆ E' la BRDF

$$f_r(x, \varpi_i, \varpi_o) = \frac{dL_r(\varpi_o)}{dE_i(\varpi_i)} = \frac{dL_r(\varpi_o)}{L(\varpi_i) \cos \theta_i d\varpi_i}$$

- Deve soddisfare la conservazione dell'energia
- Deve valere il principio di reciprocità

$$\int_{\varpi_i} f_r(x, \varpi_i, \varpi_o) \cos \theta_i d\varpi_i \leq 1$$

$$f_r(x, \varpi_i, \varpi_o) = f_r(x, \varpi_o, \varpi_i)$$

# Rendering Equation (3)

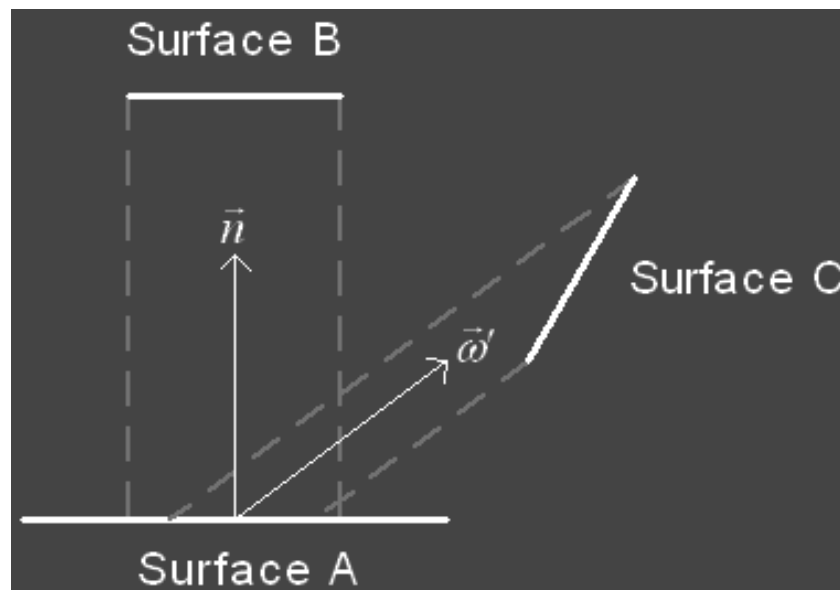
$$L_r(x, \varpi_o) = \int_{\varpi_i} f_r(x, \varpi_i, \varpi_o) L_i(x, \varpi_i) \cos \theta_i d\varpi_i$$

- ◆ Radianza incidente dalla direzione  $\varpi_i$ 
  - A sua volta è un integrale

# Rendering Equation (4)

$$L_r(x, \varpi_o) = \int_{\varpi_i} f_r(x, \varpi_i, \varpi_o) L_i(x, \varpi_i) \cos \theta_i d\varpi_i$$

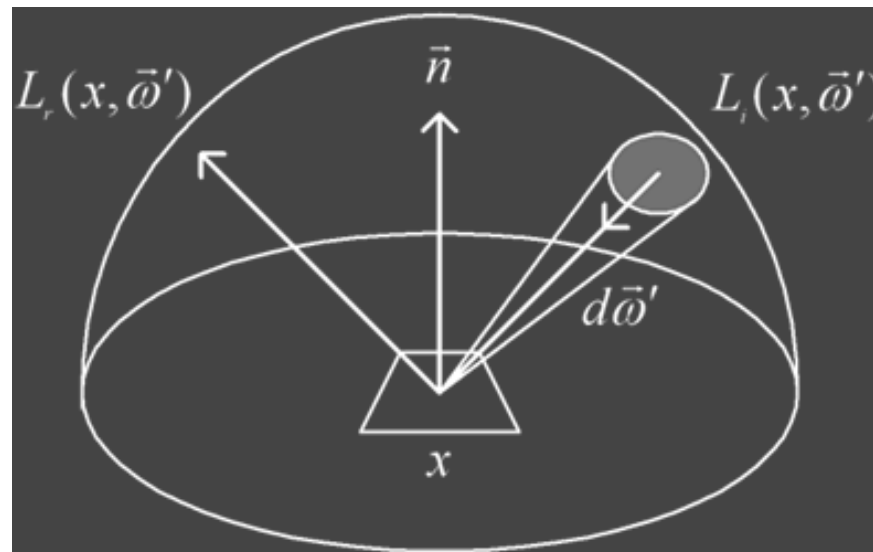
◆ Legge del coseno



# Rendering Equation (4)

$$L_r(x, \vec{\omega}_o) = \int_{\vec{\omega}_i} f_r(x, \vec{\omega}_i, \vec{\omega}_o) L_i(x, \vec{\omega}_i) \cos \theta_i d\vec{\omega}_i$$

◆Angolo solido differenziale



# Rendering Equation (5)

- ◆ Il problema degli algoritmi di ray tracing
  - Stochastic ray tracing
  - Path tracing
  - Photon Mapping
  - Radiosity
  - Monte Carlo ray tracing
  - ...
  
- ◆ Trovare un modo efficiente per calcolare/approssimare la l'integrale dell'equazione

# Monte Carlo (1)

## ◆ Perché lanciare raggi “a caso” risolve l'integrale?

- L'approccio Monte Carlo dà una soluzione corretta all'integrale **IN MEDIA**

## ◆ Esempio

- Dato l'integrale  $\int_a^b f(x)dx$

- Date variabili casuali uniformemente distribuite  $X_i \in [a, b]$

- Lo stimatore Monte Carlo dell'integrale è 
$$F_N = \frac{b-a}{N} \sum_{i=1}^N f(X_i)$$

# Monte Carlo (2)

## ◆ Esempio

- Dato lo stimatore

$$F_N = \frac{b-a}{N} \sum_{i=1}^N f(X_i)$$

- Il valore atteso dello stimatore ("MEDIA") è dato da

$$E[F_N] = E\left[\frac{b-a}{N} \sum_{i=1}^N f(X_i)\right] = \frac{b-a}{N} \sum_{i=1}^N E[f(X_i)]$$

- Il valore atteso di una funzione è dato da

$$E[f(x)] = \int_a^b f(x) p(x) dx$$

- Con  $p(x)$  probabilità di avere il valore  $x$



# Monte Carlo (3)

## ◆ Esempio

- Il valore atteso diventa

$$E[F_N] = \frac{b-a}{N} \sum_{i=1}^N \int_b^a f(x) p(x) dx$$

- Dato che i campioni sono estratti in modo uniforme

$$E[F_N] = \frac{b-a}{N} \frac{1}{b-a} \sum_{i=1}^N \int_b^a f(x) dx = \frac{1}{N} \sum_{i=1}^N \int_b^a f(x) dx = \int_b^a f(x) dx$$

$$E[F_N] = \int_b^a f(x) dx$$

# Monte Carlo (4)

- ◆ In generale, se le variabili casuali  $X_i$  sono estratte da un funzione di densità di probabilità  $p(x)$  si ha:

$$F_N = \frac{1}{N} \sum_{i=1}^N \frac{f(X_i)}{p(X_i)}$$

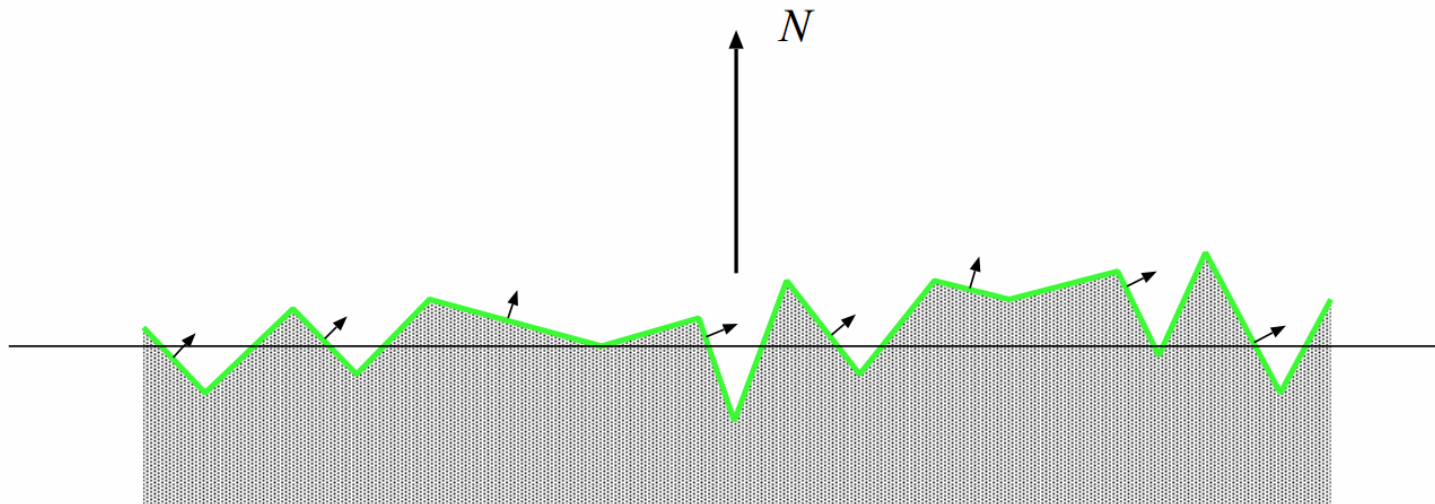
- ◆ Quindi l'integrale dell'equazione di rendering può essere risolto accumulando evidenze di path randomici
  - Pesati per la probabilità di loro occorrenza

# Modelli di illuminamento avanzati

## Cook-Torrance (1)

### ◆Cook-Torrance ('82)

- Derivato da un modello di Blinn del 77
- Sono introdotte delle microfacce (microfacet) per modellare la componente speculare
- Ogni microfaccia è considerata uno specchio perfetto



# Modelli di illuminamento avanzati

## Cook-Torrance (2)

### ◆Cook-Torrance ('82)

$$I = I_a \cdot k_a + I_l \cdot \left[ k_d \cdot (\mathbf{N} \cdot \mathbf{L}) + k_s \cdot \frac{D \cdot G \cdot F}{(\mathbf{N} \cdot \mathbf{V})(\mathbf{N} \cdot \mathbf{L})} \right]$$

- L'equazione è simile al modello di Blinn
  - Cambia la parte speculare
- N: Media delle normali sulla superficie
- L: Direzione della luce
- V: Direzione di vista

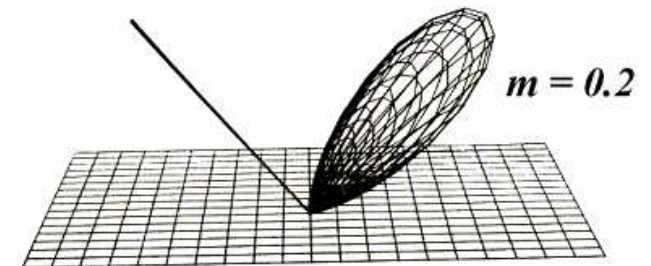
# Modelli di illuminamento avanzati

## Cook-Torrance (3)

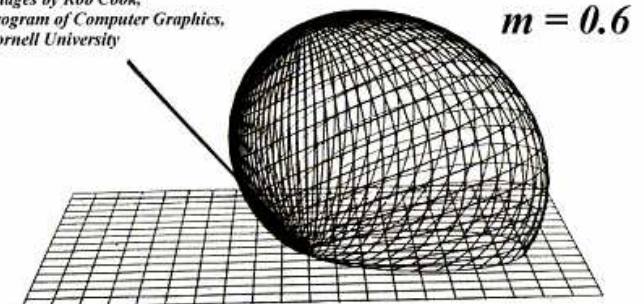
◆ **D** è la funzione di distribuzione delle direzioni delle microfacce

$$D = \frac{e^{-\left(\frac{\tan \alpha}{m}\right)^2}}{4m^2 \cos^4 \alpha}$$

- $\alpha$  è l'angolo tra **H** e **N**
- $m$  controlla la rugosità della superficie



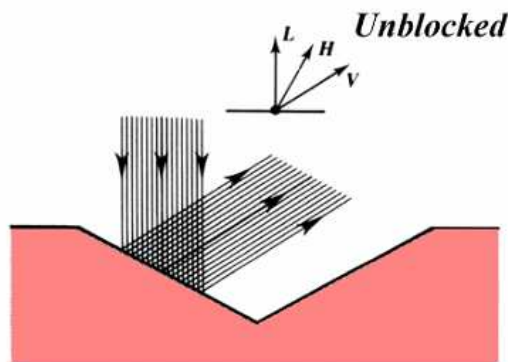
*Images by Rob Cook,  
Program of Computer Graphics,  
Cornell University*



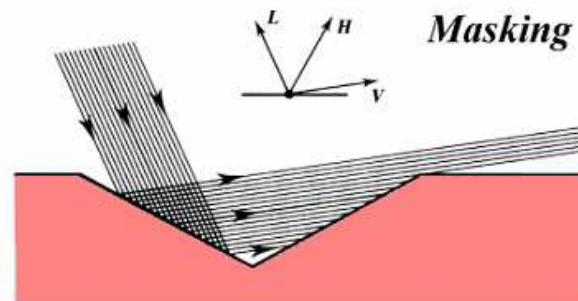
# Modelli di illuminamento avanzati

## Cook-Torrance (4)

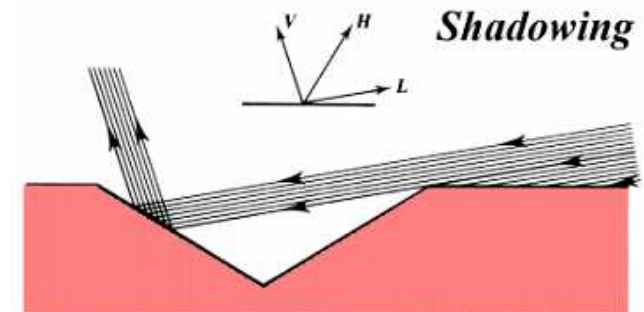
- ◆  $G$  è un fattore di attenuazione dovuto alla geometria delle microfacce



$$G_1 = 1$$



$$G_2 = \frac{2 \cdot (\mathbf{N} \cdot \mathbf{H})(\mathbf{N} \cdot \mathbf{V})}{\mathbf{V} \cdot \mathbf{H}}$$



$$G_3 = \frac{2 \cdot (\mathbf{N} \cdot \mathbf{H})(\mathbf{N} \cdot \mathbf{L})}{\mathbf{L} \cdot \mathbf{H}}$$

$$G = \min \left\{ 1, \frac{2 \cdot (\mathbf{N} \cdot \mathbf{H})(\mathbf{N} \cdot \mathbf{V})}{\mathbf{V} \cdot \mathbf{H}}, \frac{2 \cdot (\mathbf{N} \cdot \mathbf{H})(\mathbf{N} \cdot \mathbf{L})}{\mathbf{L} \cdot \mathbf{H}} \right\}$$

# Modelli di illuminamento avanzati

## Cook-Torrance (5)

◆ **F** è il termine di Fresnel

- Modella il comportamento della luce in materiali differenti
- Dipende dalla lunghezza d'onda della luce  $\lambda$  e dalla direzione di luce incidente  $\theta_i$

$$F_{\lambda}(\theta_i) = \frac{1}{2} \frac{(g - c)^2}{(g + c)^2} \left( 1 + \frac{(c(g + c) - 1)^2}{(c(g - c) + 1)^2} \right)$$

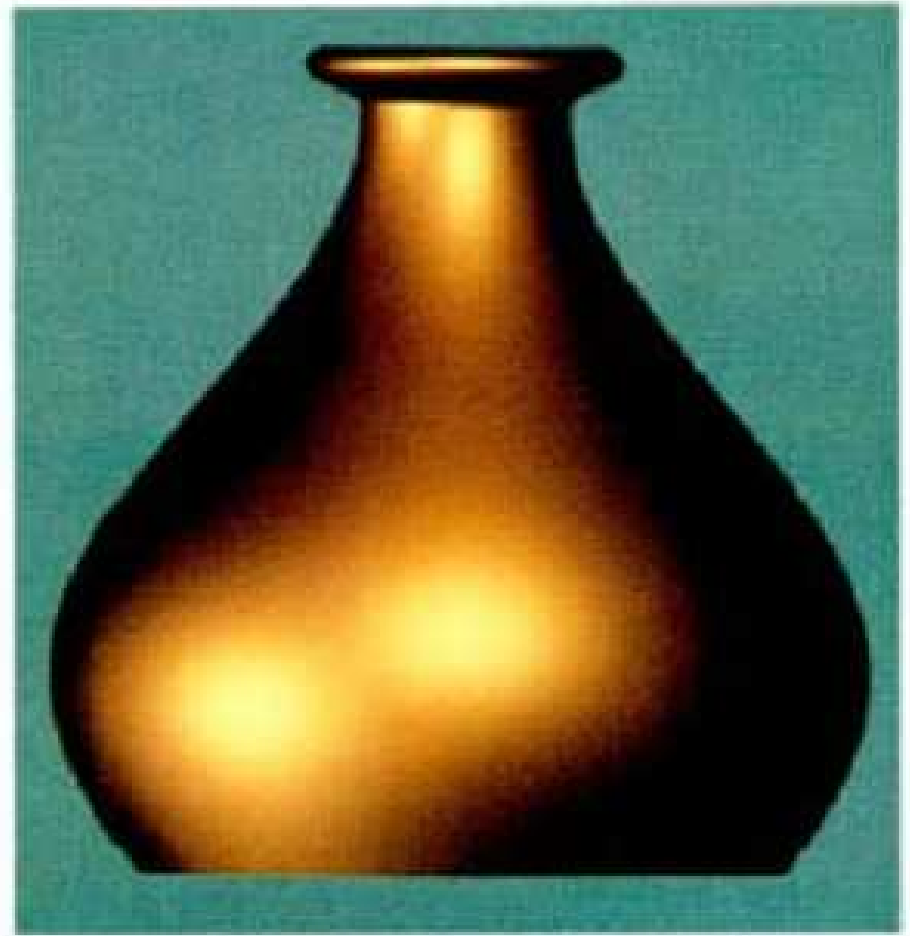
$$c = \cos \theta_i = \hat{\mathbf{L}} \cdot \hat{\mathbf{H}}$$

$$g = \sqrt{\eta^2 + c^2} - 1$$

- $\eta$  è l'indice di rifrazione del materiale

# Modelli di illuminamento avanzati

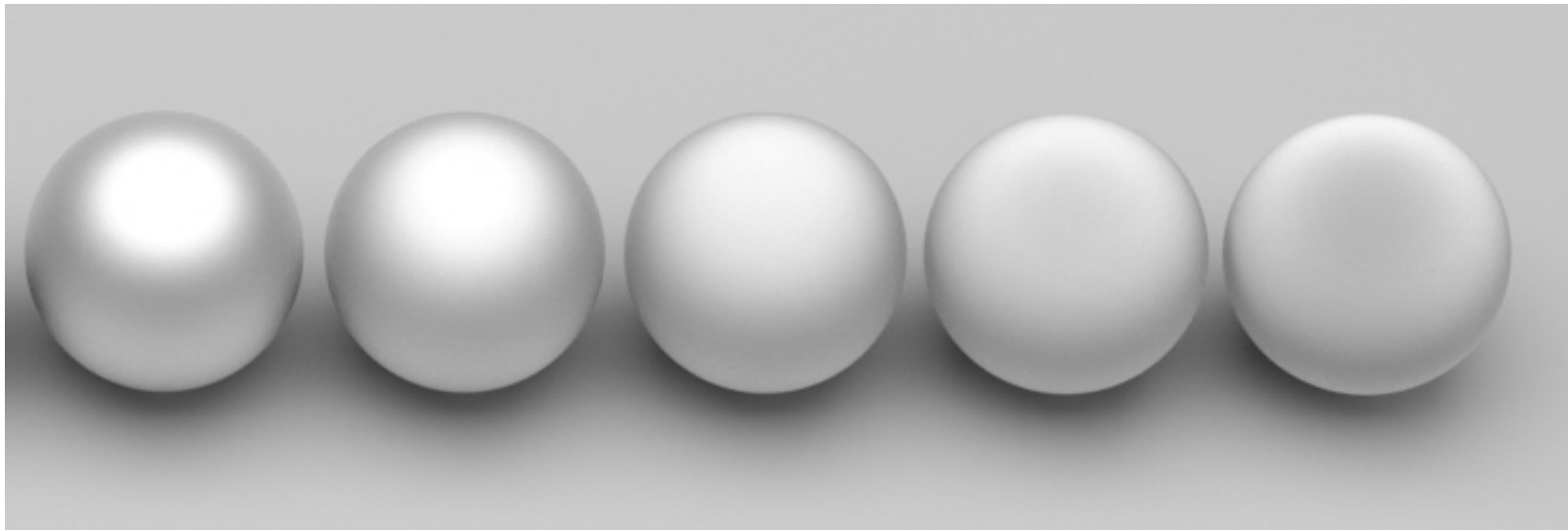
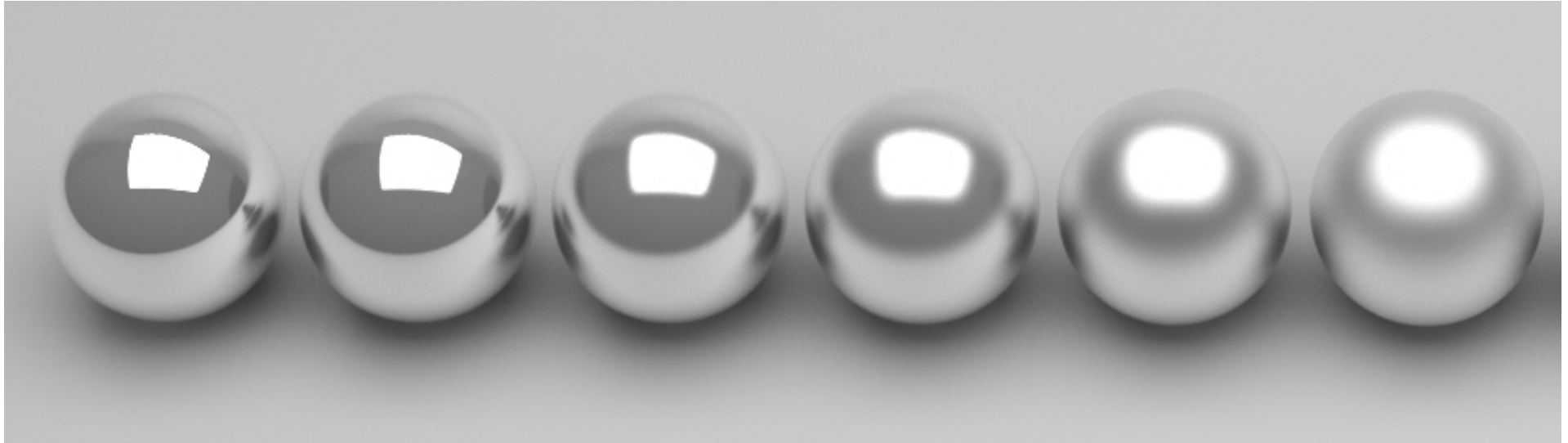
Cook-Torrance (6)





# Modelli di illuminamento avanzati

## Cook-Torrance (7)

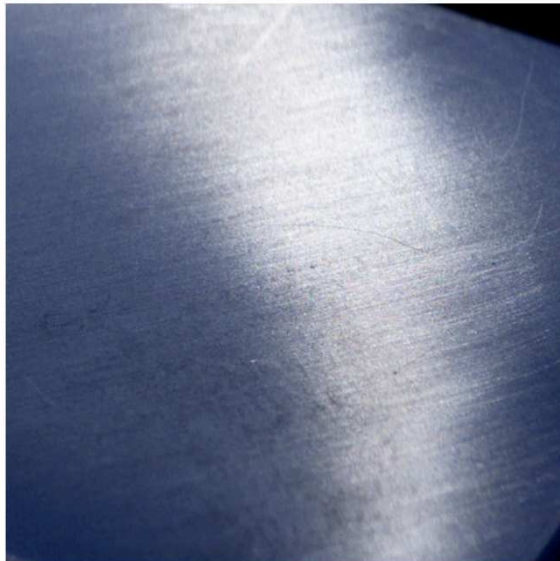


◆ Roughness

# Modelli di illuminamento avanzati

## Ward (1)

- ◆ I modelli visti considerano il materiale isotropico
  - Ruotando l'oggetto, lo shading non cambia
- ◆ Molti materiali in natura sono anisotropici
  - Le microsuperfici hanno una orientazione preferenziale



# Modelli di illuminamento avanzati

## Ward (2)

### ◆ Modello di Ward ('92)

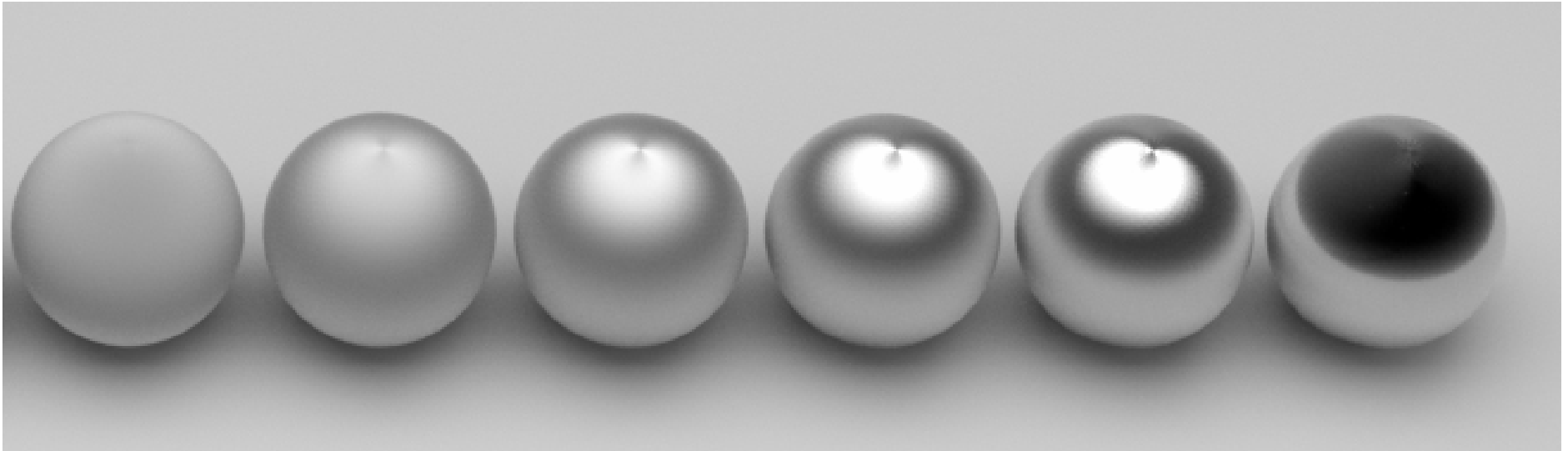
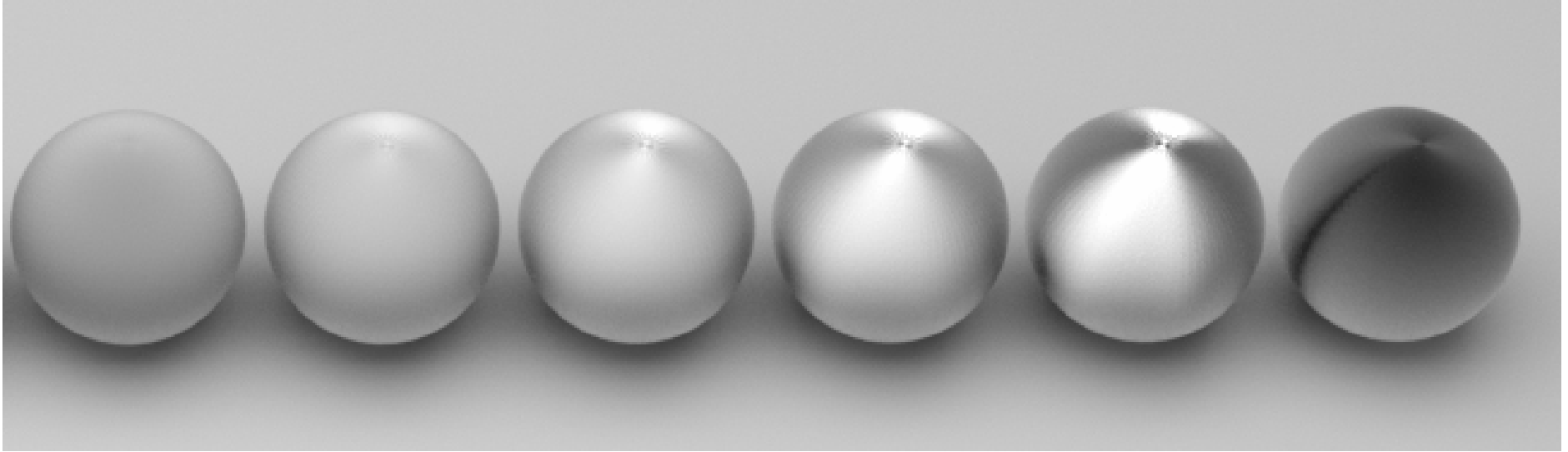
- La componente speculare è definita come

$$k_s = \frac{1}{\sqrt{(\mathbf{N} \cdot \mathbf{L})(\mathbf{N} \cdot \mathbf{V})}} \frac{\mathbf{N} \cdot \mathbf{L}}{4\pi\alpha_x\alpha_y} e^{\left( -2 \frac{\left( \frac{\mathbf{H} \cdot \mathbf{X}}{\alpha_x} \right)^2 + \left( \frac{\mathbf{H} \cdot \mathbf{Y}}{\alpha_y} \right)^2}{1 + (\mathbf{H} \cdot \mathbf{N})} \right)}$$

- $\mathbf{X}$  e  $\mathbf{Y}$  sono due vettori di uno spazio perpendicolare alla normale che definiscono le direzioni di anisotropia
- $\alpha_x$  e  $\alpha_y$  controllano l'entità dell'anisotropia nelle due direzioni

# Modelli di illuminamento avanzati

Ward (3)



Anisotropy

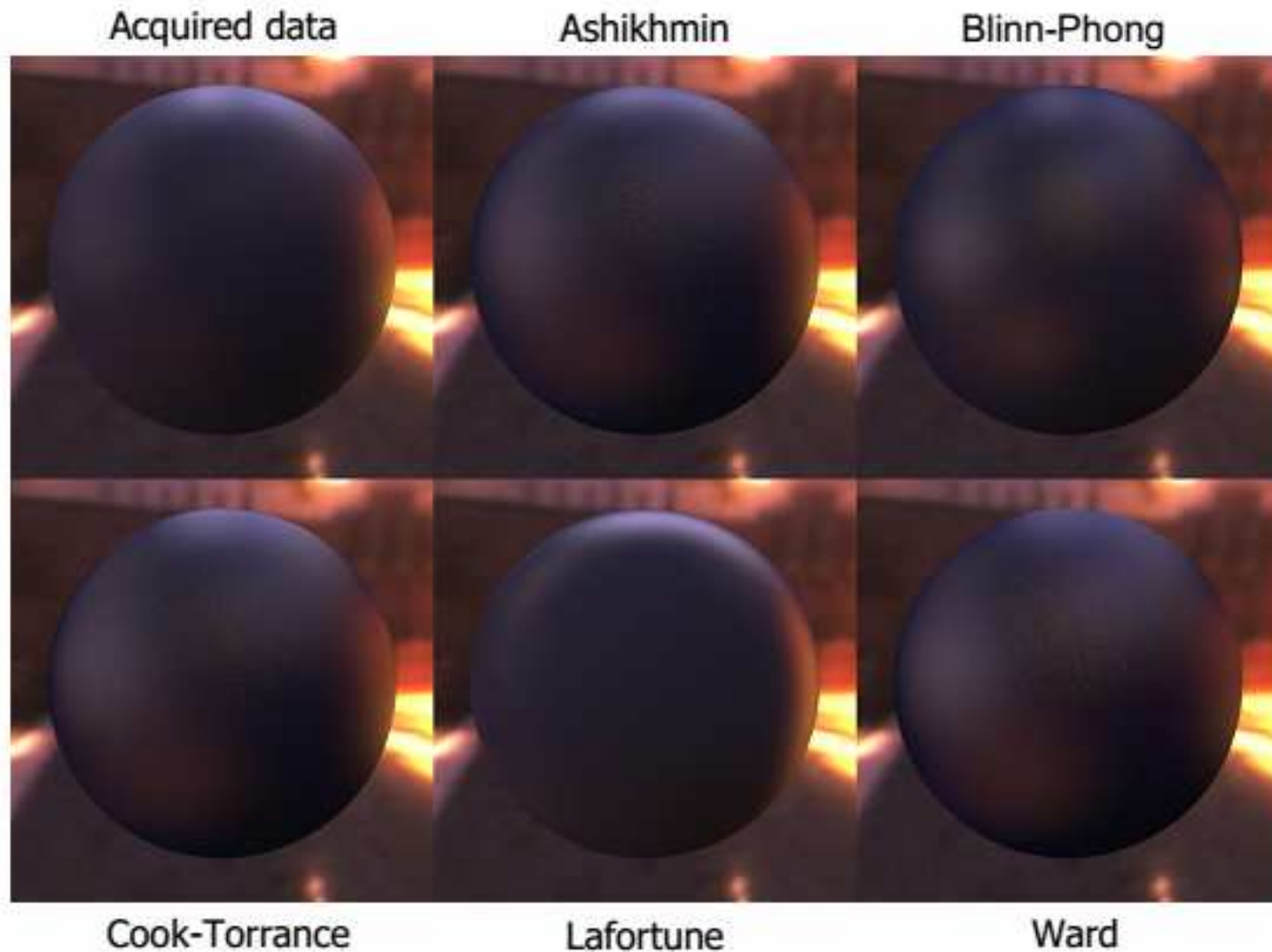
# Modelli di illuminamento avanzati

Ward (4)



Anisotropy

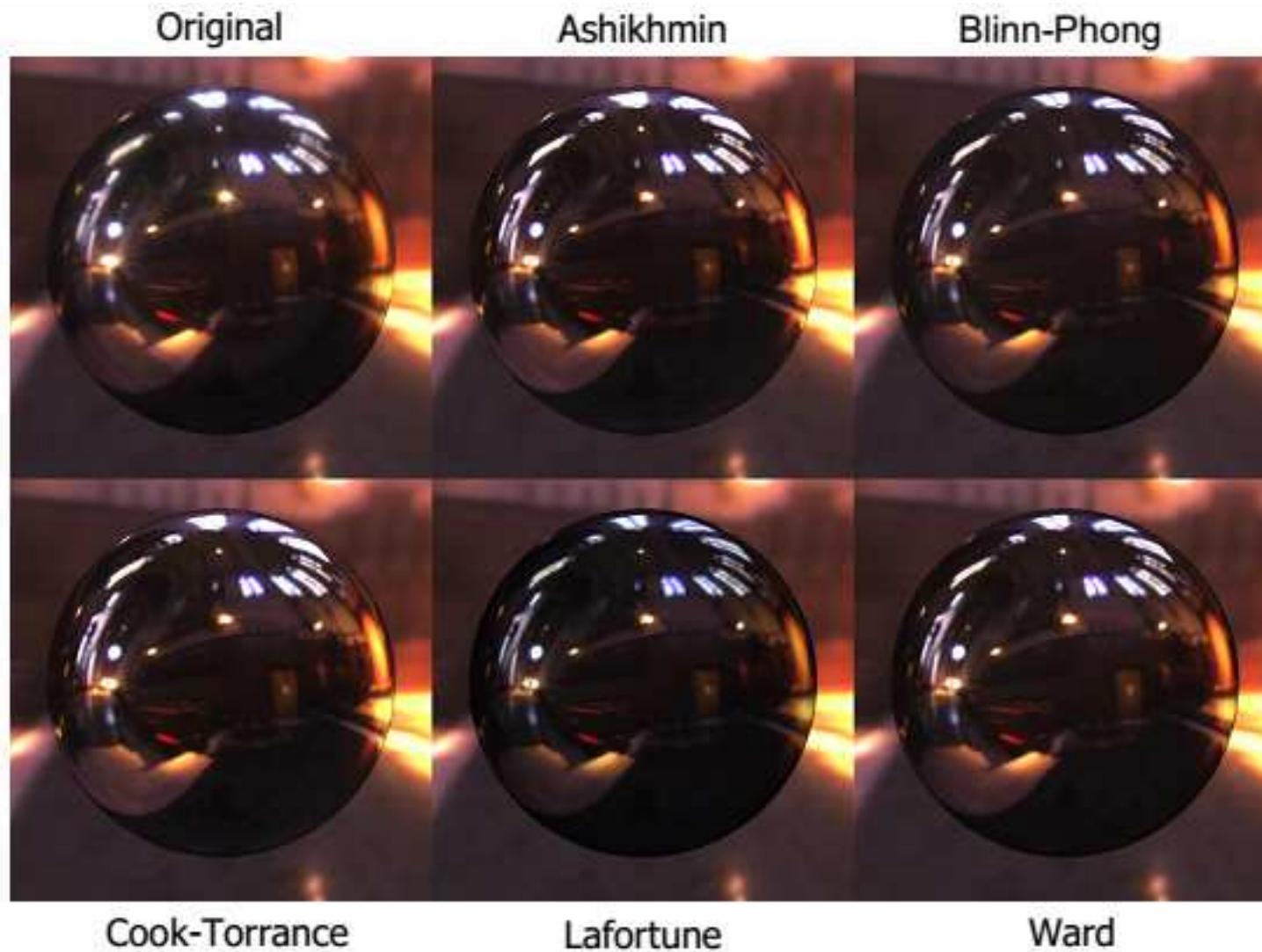
# Modelli di illuminamento avanzati



**Material – Dark blue paint**



# Modelli di illuminamento avanzati

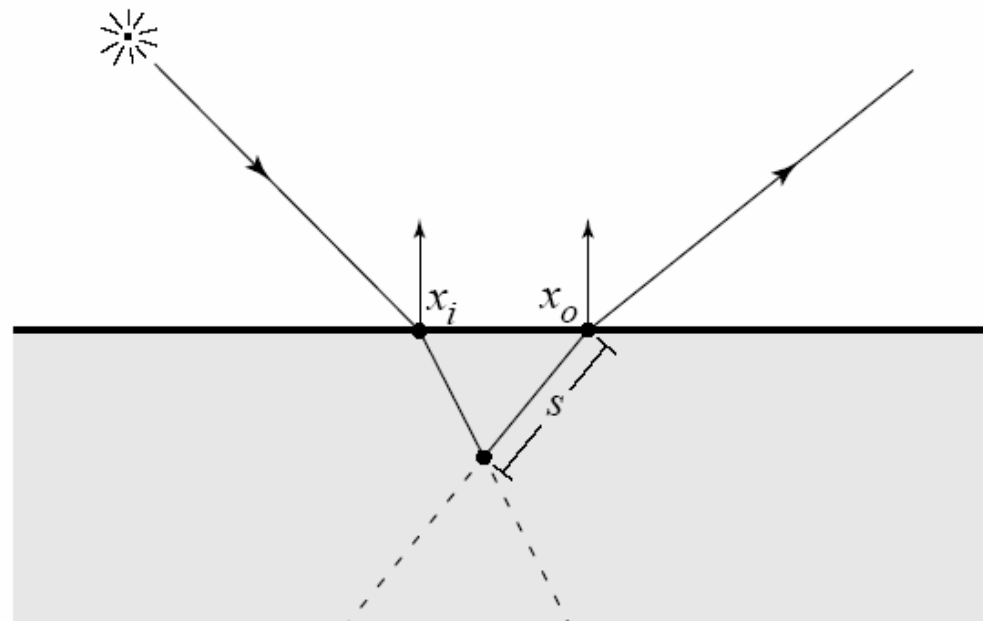


**Material – Chrome**

# BSSRDF (1)

## ◆ Bidirectional Surface Scattering Reflectance Distribution Function

- La luce attraversa un materiale e viene riflessa da un punto diverso



Henrik Wann Jensen, Stephen R. Marschner, Marc Levoy and Pat Hanrahan:  
"A Practical Model for Subsurface Light Transport". Proceedings of SIGGRAPH'2001.



# BSSRDF (2)



**BRDF**



**BSSRDF**

# BSSRDF (3)



BRDF



BSSRDF

# BSSRDF (4)



Photon Mapping



BSSRDF

# BSSRDF (5)



BRDF



BSSRDF